

поведение льда под действием нагрузки, позволяет применить метод, предложенный в [2], для построения модели многокомпонентной среды и получения системы уравнений, описывающих процесс распространения волн в этой среде.

В заключение отметим, что основным эффектом, к которому приводит вырождение коэффициента вязкости на фронте волны, является мгновенное размывание ударной волны в среде (превращение ее в непрерывную волну сжатия).

#### ЛИТЕРАТУРА

1. Ляхов Г. М. Ударные волны в многокомпонентных средах // Изв. АН СССР. Механика и машиностроение.— 1959.— № 1.
2. Ляхов Г. М. Волны в грунтах и пористых многокомпонентных средах.— М.: Наука, 1982.
3. Ляхов Г. М., Фраш Г. Б. Взрывные волны в мерзлых грунтах // ПМТФ.— 1983.— № 6.
4. Фомин В. А. Исследование разрушения льда при высоких скоростях деформаций // Аэрофизика и геокосмические исследования.— М.: МФТИ, 1984.
5. Фомин В. А., Родионов В. Н. О диссипации механической энергии во льду // ДАН СССР.— 1985.— Т. 285, № 6.
6. Голд Л., Синха Н. Реологическое поведение льда при малых деформациях // Физика и механика льда.— М.: Мир, 1983.
7. Sinha N. K. Rheology of columnar-grained ice // Experim. Mech.— 1978.— V. 18, N 12.
8. Хоскин Н. Э. Метод характеристик для решения уравнений одномерного неуставновившегося течения // Вычислительные методы в гидродинамике.— М.: Мир, 1971.

Поступила 1/IX 1986 г.

УДК 539.375.5

#### УПРОЧНЕНИЕ СТАЛИ В РЕЗУЛЬТАТЕ ДИНАМИЧЕСКОГО ОДНООСНОГО РАСТЯЖЕНИЯ

*А. Г. Иванов, А. И. Коршунов, А. М. Подурец,*

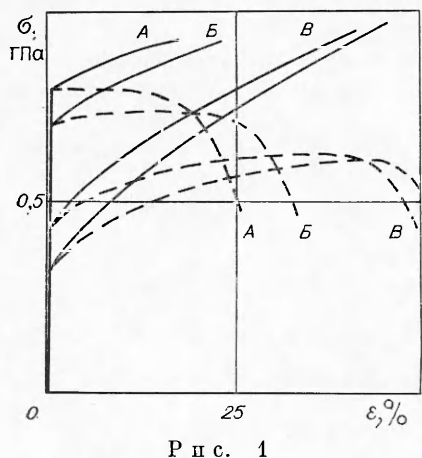
*В. А. Рыжанский, Н. А. Юкина*

(*Москва*)

Как известно, многие конструкционные материалы в той или иной степени чувствительны к предыстории нагружения. Одним из проявлений подобной чувствительности является упрочнение стали в результате пластической деформации — так называемый наклеп. В [1] показано, что с повышением скорости деформации наклеп стали усиливается. В [2] установлено, что при одноосном растяжении стали аустенитного класса 12Х18Н10Т в различных скоростных режимах на ее механические свойства существенно влияют факторы, связанные с предысторией нагружения (в частности, релаксационные процессы и динамический наклеп).

Данная работа (продолжение [2]) посвящена изучению изменений физико-механических свойств стали 12Х18Н10Т в результате ее динамического растяжения.

Материал для исследования взят из цилиндрической оболочки (наружный радиус  $R_0$ , толщина  $0,0246R_0$ , длина  $4R_0$ ), сваренной из стальных листов, закаленных с охлаждением на воздухе. Оболочка была заполнена водой и дважды нагружена взрывом сферического заряда бризантного взрывчатого вещества (ВВ), инициированного в центре. Оба раза заряд ВВ помещался в геометрическом центре оболочки. Опыты проводились на открытом воздухе при температуре оболочки с водой  $(293 \pm 5)$  К. В результате нагружений оболочка приняла бочкообразную форму. Измерения показали, что деформация оболочки близка к одноосной: при радиальном расширении ее значительное окружное растяжение (максимум  $\sim 40\%$  в центральном поперечном сечении) сопровождалось утонением и незначительным (максимум  $\sim 3\%$  в том же сечении) укорочением вдоль образующей. Результаты скоростной фоторегистрации в опытах теневым методом [3] показали, что оболочка, расширяясь, слабо пульсировала (вследствие воздействия волн давления, циркулировавших в воде, что



Р и с. 1

Т а б л и ц а 1

Зона	$\varepsilon_0$ , %	$\sigma_{0,2}$ , ГПа	$\sigma_v$ , ГПа	$\delta$ , %
A	37	0,797	0,808	24
Б	17	0,701	0,749	32
В	2	0,424	0,632	51
Исходное состояние	0	0,341	0,582	52

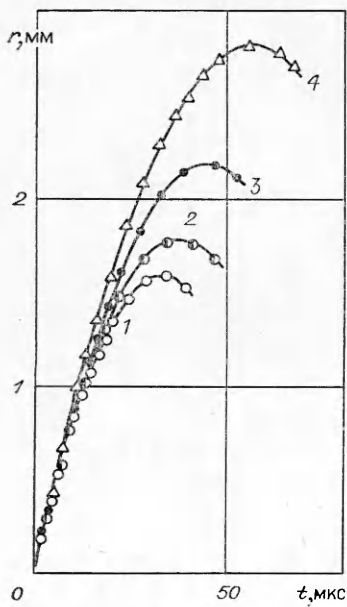
характерно для нагружения подводными взрывами [4].

Образцы для испытаний вырезаны в трех зонах оболочки, расположенных в разных местах и, следовательно, отличавшихся предысторией нагружения: в зоне центрального поперечного сечения *A*, ближайшей к центру взрыва (поэтому здесь скорость деформации наибольшая), остаточная окружная относительная деформация  $\varepsilon_0$  составила  $\sim 37\%$ ; в зоне *B*, расположенной между зоной *A* и краем оболочки,  $\varepsilon_0 \approx 17\%$ ; в зоне *V* на краю оболочки, где скорость деформации наименьшая,  $\varepsilon_0 \approx 2\%$ . Механическая обработка при вырезании заготовок и изготовлении образцов проводилась в режимах, исключавших ее возможное влияние на свойства материала.

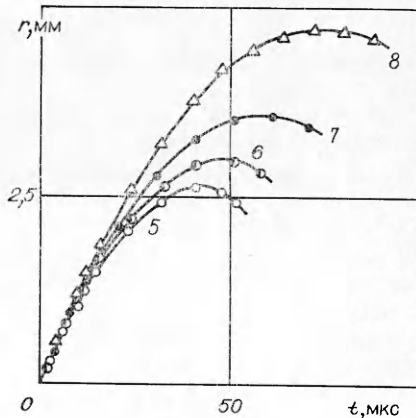
Образцы испытывали при температуре  $(288 \pm 5)\text{K}$ . Определялись механические свойства стали как в указанных зонах оболочки, так и в исходном (недеформированном) состоянии, а также изучалась ее микроструктура.

Статические испытания проводились на цилиндрических образцах, изготовленных по ГОСТ 1497—73 (тип IV, № 6) так, чтобы оси образцов были ориентированы вдоль окружности оболочки. Скорость пластической деформации составляла  $\sim 10^{-3} \text{ с}^{-1}$ . После математической обработки по методике [5] машинных диаграмм растяжения образцов получены для каждой из зон оболочки условные статические диаграммы растяжения, показанные штриховыми линиями на рис. 1, где они обозначены индексами зон, а без индекса дана диаграмма для материала в исходном состоянии; сплошными линиями приведены зависимости  $\sigma(\varepsilon)$ , обозначенные аналогично ( $\sigma$  — истинное напряжение,  $\varepsilon$  — истинная деформация).

Они найдены путем пересчета условных диаграмм растяжения в предположении постоянства деформируемого объема



Р и с. 2



Р и с. 3

Таблица 2

Серия опытов	Зона	Номер опыта	$v_0$ , м/с	$\dot{\varepsilon}_0$ , с <sup>-1</sup>	$\varepsilon_1$ , %	$t_1$ , мкс	$\sigma$ , ГПа
I	A	1	98,1	1962	3,2	33,0	1,184
	Б	2	98,0	1960	3,5	37,0	1,057
	В	3	98,2	1964	4,3	45,2	0,872
	Исходное состояние	4	97,4	1948	5,5	59,0	0,668
II	A	5	128,8	2576	5,4	43,4	1,199
	Б	6	128,4	2568	6,0	48,4	1,077
	В	7	129,6	2592	7,2	58,5	0,907
	Исходное состояние	8	130,0	2600	9,0	74,0	0,728

[6] и с учетом поправки, рекомендованной в [7] для участка диаграммы после образования шейки на образце. Стандартные механические характеристики стали даны в табл. 1. Относительные погрешности определения напряжений и деформаций не превышали 1,5 и 3%.

Динамические испытания проводились в режиме переменной (спадающей от максимума до нуля) скорости деформации \* методом импульсного расширения образцов-кольец ( $R_0 = 50$  мм, толщина 1 мм, высота 3 мм), как и в [2]. С помощью взрывного устройства [8] коротким (за 0,2 мкс) ударом изнутри кольцу сообщалась начальная скорость  $v_0$ , а в дальнейшем кольцо симметрично расширялось по инерции, тормозясь под действием окружного напряжения

$$(1) \quad \sigma = -\rho R dv/dt.$$

Здесь  $\rho$  — плотность материала;  $R$  и  $v = dR/dt$  — текущие значения наружного радиуса и радиальной скорости расширяющегося кольца;  $t$  — время расширения. В опытах регистрировались зависимости  $r(t) = R(t) - R_0$ , приведенные точками на рис. 2, 3; номера кривых отвечают номерам опытов в табл. 2, где  $\dot{\varepsilon}_0 = v_0/R_0$  — начальная скорость окружной деформации кольца,  $\varepsilon_1$ ,  $t_1$  — максимальная окружная деформация и время ее достижения. Относительные погрешности значений  $v_0$ ,  $\varepsilon_1$  и  $t_1$  не превышают соответственно 7, 5 и 2%.

Анализ напряженного состояния колец проводился по методике [2], согласно которой при  $0 \leq t \leq t_1^{**}$  интегралы уравнения (1) в предположении

$$(2) \quad \sigma(\varepsilon) = \sigma = \text{const}$$

запишем как

$$(3) \quad \dot{\varepsilon}(\varepsilon) = \dot{\varepsilon}_0 \sqrt{1 - \varepsilon/\varepsilon_1} \exp(-\varepsilon);$$

$$(4) \quad E(\varepsilon) = CT(t);$$

$$(5) \quad \varepsilon = \ln(1 + r/R_0), \quad \varepsilon_1 = \rho v_0^2 / 2\sigma;$$

$$(6) \quad E(\varepsilon) = \sum_{n=1}^{\infty} (-1)^{n-1} a_n (1 - \varepsilon/\varepsilon_1)^{(2n-1)/2};$$

$$(7) \quad T(t) = 1 - t/t_1;$$

$$(8) \quad C = \dot{\varepsilon}_0 t_1 / 2\varepsilon_1.$$

Зависимость (4) найдена в результате замены экспоненты в (3) рядом Тейлора. При  $n = 4$  (относительная погрешность менее 0,01%)

\* Данный режим близок к режиму деформирования оболочки при ее внутреннем взрывном нагружении.

\*\* Интервал  $0 \leq t \leq t_1$  представляет наибольший интерес, так как в нем реализуется максимальный перепад скоростей деформации.

коэффициенты в (6) имеют вид

$$(9) \quad a_1 = 1 + \varepsilon_1 + \varepsilon_1^2/2 + \varepsilon_1^3/6, \quad a_2 = (1 + \varepsilon_1 + \varepsilon_1^2/2) \varepsilon_1, \\ a_3 = (1 + \varepsilon_1) \varepsilon_1^2/2, \quad a_4 = \varepsilon_1^3/6.$$

Таким образом, линейная связь функционалов (6) и (7) есть критерий справедливости предположения (2), что в рамках известной модели жесткоквазипластического тела

$$(10) \quad \sigma = \sigma_0 + k\varepsilon + \eta\varepsilon$$

( $\sigma_0$  — статический предел текучести,  $k$  — коэффициент упрочнения,  $\eta$  — динамическая вязкость) физически означает происходящую в разлетающемся по инерции кольце взаимную компенсацию упрочнения с ростом  $\varepsilon$  и разупрочнения из-за спада  $\dot{\varepsilon}$  при торможении разлета кольца.

Зависимости (4), полученные по экспериментальным точкам  $r(t)$ , весьма близки к линейным, и это позволило заключить, что в опытах при  $0 \leq t \leq t_1$  (в пределах погрешности эксперимента) в кольцах реализовалось напряженное состояние вида (2) и, согласно (5),

$$(11) \quad \sigma = \rho v_0^2/2\varepsilon_1.$$

Расчетные зависимости  $r(t)$ , найденные по формулам, вытекающим из (4)–(9), приведены на рис. 2, 3 линиями и вполне удовлетворительно согласуются с экспериментальными. Зависимости  $\varepsilon(\varepsilon)$  и  $\sigma(\varepsilon)$ , определенные по формулам (3) и (11), показаны на рис. 4 с номерами, отвечающими номерам опытов в табл. 2, где даны также значения  $\sigma$  (погрешность не более 10%).

Пользуясь рис. 4 как номограммой, можно от  $\sigma(\varepsilon)$  при переменных  $\dot{\varepsilon}$  перейти к  $\sigma(\varepsilon)$  при  $\dot{\varepsilon} = \text{const}$  \*. Как и в [2], их графики — прямые с угловыми коэффициентами  $k$ , величины которых, оцененные для ряда значений  $\varepsilon$ , приведены в табл. 3. Там же для сравнения даны  $k$ , оцененные по статическим зависимостям  $\sigma(\varepsilon)$  на рис. 1.

Из полученных результатов следует, что по сравнению со сталью в исходном состоянии при прочих равных условиях у образцов из динамически деформированной стали наблюдаются явные изменения механических свойств. Так, при ее статическом растяжении имеют место повышение прочности  $\sigma_{0,2}$ ,  $\sigma_b$  и снижение пластичности  $\delta$  (см. табл. 1 и рис. 1), а при динамическом — снижение податливости, проявляющееся в уменьшении амплитуды деформации колец  $\varepsilon_1$  и увеличении динамических напряжений (см. табл. 2, рис. 2—4). Это свидетельствует о наклее стали в оболочке.

Таблица 3

Зона	$k$ , ГПа			
	Статика		Динамика	
	$\dot{\varepsilon} \approx 10^{-3}$ $\text{с}^{-1}$	$2 \cdot 10^3 \text{ с}^{-1}$	$10^3 \text{ с}^{-1}$	0
A	0,70	0,73	0,64	0,69
B	0,87	0,86	0,83	0,82
V	1,16	1,25	1,21	1,20
Исходное состояние	1,38	1,40	1,40	1,40

\* Необходимо на рис. 4 провести горизонтальную линию по заданному значению  $\dot{\varepsilon} = \text{const}$ , а точки ее пересечения с кривыми  $\varepsilon(\varepsilon)$  для каждого опыта спроектировать на соответствующие зависимости  $\sigma(\varepsilon)$  и ось  $\varepsilon$ . Эти проекции суть координаты ( $\sigma$ ,  $\varepsilon$ ) точек искомой зависимости.

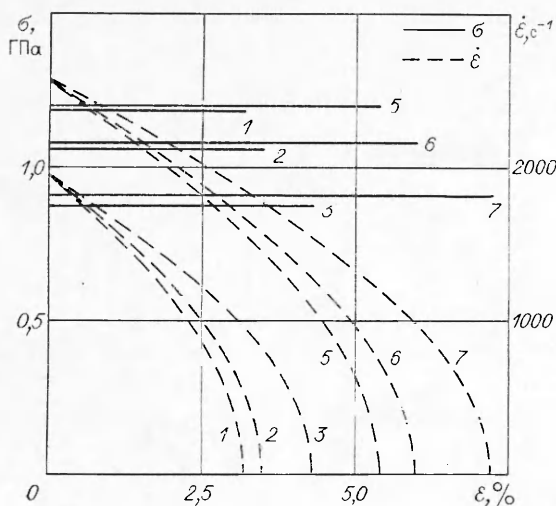


Рис. 4

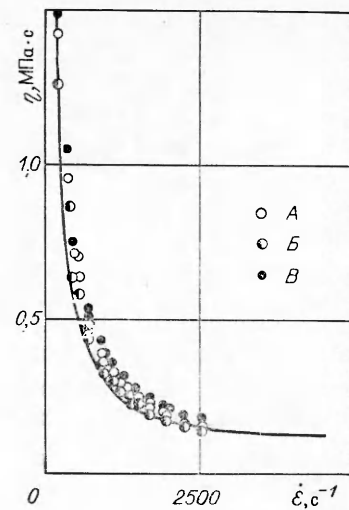


Рис. 5

В [2] показано, что степень упрочнения стали зависит не только от уровня динамической деформации, но и от скоростного режима деформирования. Результаты данного исследования не противоречат этому выводу. Действительно, сильнейший наклеп наблюдается в ближайшей к центру взрыва зоне *A*, где деформирование происходило при наибольшем перепаде скоростей. Поэтому предел текучести стали здесь возрос в  $\sim 2,3$  раза по сравнению с исходным состоянием. Пульсирующий характер расширения оболочки, по-видимому, способствовал ее упрочнению. По мере удаления от зоны *A* к краю оболочки уровни скоростей деформаций снижались — соответственно ослабевал и наклеп. Так, в зоне *B* предел текучести увеличился в  $\sim 2$  раза, т. е. меньше, чем в зоне *A*, а в зоне *C*, где деформация и ее скорость минимальны, наклеп незначителен: предел текучести возрос всего на 30 %. Вышеупомянутое снижение  $\delta$  по мере увеличения остаточной деформации оболочки — естественное уменьшение ресурсов пластичности стали в результате ее растяжения и, так же как силовые факторы, характеризует степень наклена.

Отметим, что (см. табл. 3) коэффициент  $k$  упрочнения стали практически нечувствителен к скорости деформации (в исследованном диапазоне ее изменения), но зависит от наклена: с уменьшением  $\varepsilon_0$ , т. е. по мере ослабления наклена,  $k$  существенно повышается, приближаясь к его значениям у стали в исходном состоянии. Чтобы оценить возможный характер зависимости  $k(\varepsilon_0)$ , рассмотрим более общее, чем (10), реологическое уравнение состояния, полученное в [9] на основе дислокационной модели пластического течения:

$$(12) \quad \sigma = \sigma_0 + \int_{(\dot{\varepsilon})} [M(\varepsilon, \dot{\varepsilon}) - N(\varepsilon, \dot{\varepsilon})/\dot{\varepsilon}] d\varepsilon + \int_{(\dot{\varepsilon})} \mu(\varepsilon, \dot{\varepsilon}) d\dot{\varepsilon},$$

где  $M$  и  $N$  — модули упрочнения и разупрочнения;  $\mu$  — вязкость материала. Очевидно, второй член в (12) является аналогом второго члена в (10). По определению,  $k = \partial\sigma/\partial\varepsilon$ , поэтому

$$(13) \quad k = M(\varepsilon, \dot{\varepsilon}) - N(\varepsilon, \dot{\varepsilon})/\dot{\varepsilon}.$$

Сопоставив в (13) размерности  $M$  и  $N$ , в первом приближении примем  $N \sim \dot{\varepsilon}$ . Учитывая близость скоростных режимов расширения кольца и оболочки, несмотря на пульсации последней, предположим, что и для нее зависимость  $\dot{\varepsilon}(\varepsilon)$  имеет в среднем экспоненциальный характер типа (3). Следовательно,  $N \sim \exp(-\varepsilon)$  и зависимость  $k(\varepsilon_0)$  тоже может быть

Таблица 4

Зона	$\alpha$ -фаза, %				
	Внутренняя поверхность	Внутренний слой	Средний слой	Наружный слой	Наружная поверхность
A	55	25	15	15	40
Б	40	20	20	10	30
В	40	20	20	10	25

Таблица 5

Зона	$HV_{0,05}$ , ГПа			$B$ , Тл
	min	max	среднее	
A	2,92	4,20	3,45	76
Б	2,76	3,87	3,29	51
В	2,10	2,96	2,43	44
Исходное состояние	1,83	2,04	1,92	25

экспоненциальной. Обработав в соответствии с этим данные табл. 3 методом наименьших квадратов, получаем  $k(\varepsilon_0) = 1,4 \exp(-1,2\sqrt{\varepsilon_0})$ , ГПа.

Используя усредненные в зонах значения  $k$  из табл. 3, а также зависимости  $\sigma(\varepsilon)$  и  $\dot{\varepsilon}(\varepsilon)$  на рис. 4, можно оценить динамическую вязкость стали в каждой из зон по формуле, вытекающей из (10):  $\eta(\varepsilon) = (\sigma - \sigma_0 - k\varepsilon)/\dot{\varepsilon}$ . Полученные таким образом значения  $\eta(\varepsilon)$  при  $\sigma_0 = \sigma_{0,2}$ ,  $\dot{\varepsilon} \leq 2600 \text{ с}^{-1}$  и  $\varepsilon = 1-9\%$  представлены точками на рис. 5 и, очевидно, близки к зависимости  $\eta(\varepsilon)$ , найденной в [2] для этой стали в исходном состоянии (линия). Значит, динамическая вязкость данной стали практически не зависит от степени наклена.

Изучение микроструктуры стали осуществлялось методами рентгеноструктурного анализа и металлографического исследования с контролем магнитных свойств.

Рентгеновский анализ проводился на установке УРС-50ИМ при излучении молибденового анода рентгеновской трубки, работавшей в режиме  $U = 30$  кВ,  $I = 7$  мА. Съемка дифрактограмм осуществлялась на внутренней и наружной сторонах оболочки и по ее толщине, условно разделенной на три равные слоя. Результаты обработки дифрактограмм приведены в табл. 4 в виде оценок относительного объемного содержания  $\alpha$ -фазы системы Fe — Ni в исходной  $\gamma$ -фазе в образцах из разных зон оболочки. Оценки делались по соотношениям интегральных интенсивностей дифракционных пиков  $(110)\alpha$ - и  $(111)\gamma$ -фаз на дифрактограммах (относительная погрешность не более 10%).

Металлографическое исследование проводилось на шлифах поперечных сечений оболочки, рельеф структуры которых выявлялся электролитическим способом в концентрированной азотной кислоте. На этих же шлифах измерялась твердость стали  $HV_{0,05}$  с помощью микротвердомера ПМТ-3 по ГОСТ 9450—76 при нагрузке на индентор, равной 50 г. Замеры делались по толщине оболочки на различном расстоянии от ее внутренней поверхности. Поскольку  $\alpha$ -фаза придает хромоникелевой стали ферромагнитные свойства (в отличие от немагнитной  $\gamma$ -фазы), на установке БУ-3 индукционно-импульсным методом при напряженности магнитного поля  $\sim 1990$  А/м была измерена магнитная индукция  $B$  в специально изготовленных кольцевых образцах ( $R_0 = 14$  мм, толщина 3 мм, высота 5 мм), служивших сердечниками торoidalных катушек. Результаты измерений приведены в табл. 5 и свидетельствуют о заметном увеличении твердости и магнитной проницаемости стали от зоны В к зоне А, т. е. по мере усиления наклена.

Анализируя результаты исследования микроструктуры стали, следует отметить (см. табл. 4, 5), что произошло частичное  $\alpha$ -фазовое превращение исходной  $\gamma$ -фазы системы Fe — Ni. При этом содержание  $\alpha$ -фазы коррелирует со степенью наклена, так как заметна тенденция к снижению концентрации  $\alpha$ -фазы по мере смещения от центральной зоны оболочки к краю. Аналогичная тенденция прослеживается и при смещении по сечению оболочки изнутри наружу (исключая наружную поверхность, где по неизвестной причине несколько повышена концентрация  $\alpha$ -фазы). Ре-

зультаты металлографии также свидетельствуют о  $\gamma$ - $\alpha$ -фазовом переходе: структура стали в исходном состоянии — типичный аустенит с характерным для него гладким зерном светлого цвета и редкими следами пластической деформации (по-видимому, после прокатки листа), а в оболочке металла сильно текстурирован, зерна неравномерные, испещренные четкими следами пластической деформации в виде резких полос скольжения, причем рельеф внутриваловой структуры характерен для мартенсита, о наличии которого можно также судить по повышению твердости и магнитной проницаемости стали.

Как известно, наиболее полно мартенситные превращения происходят при низких температурах, приводя к существенному повышению прочности и твердости и снижению пластичности сталей [10]. Но для того чтобы фазовый переход мог произойти при нормальных и повышенных температурах, необходим избыток подводимой извне энергии деформации, требуемый для преодоления потенциальных барьеров при превращении [11]. Такое условие выполняется либо при ударно-волновых нагрузлениях [12, 13], либо при комплексном воздействии ударного нагружения объекта и его высокоскоростного растяжения [14], что и имело место в данной работе.

Подводя итоги, можно констатировать: 1) в результате динамического одноосного растяжения в пульсирующем скоростном режиме сталь 12Х18Н10Т претерпела упрочнение — наклеп, являющийся деформационным и фазовым, степень наклена — в прямой зависимости от интенсивности ударно-волнового нагружения, динамичности и величины пластической деформации; 2) по сравнению со сталью в исходном состоянии при прочих равных условиях после наклена существенно повысились прочностные и снизились пластические свойства стали; 3) коэффициент деформационного упрочнения практически нечувствителен к изменению скорости деформации, как и в [2], но существенно уменьшается по мере усиления наклена (эта зависимость близка к экспоненте); 4) динамическая вязкость стали практически не зависит от степени наклена, и ее зависимость от скорости деформации близка к аналогичной зависимости для стали в исходном состоянии.

#### ЛИТЕРАТУРА

- Пашков П. О. О методике эксперимента при обработке металлов ударными волнами // Высокоскоростная деформация.— М.: Наука, 1971.
- Иванов А. Г., Кашаев Ю. Г. и др. Влияние предыстории нагружения на механические свойства стали при одноосном растяжении // ПМТФ.— 1982.— № 6.
- Дубовик А. С. Фотографическая регистрация быстропротекающих процессов.— М.: Наука, 1975.
- Физика взрыва.— 2-е изд./Под ред. К. П. Станюковича.— М.: Наука, 1975.
- Коршунов А. И., Кравченко Т. Н., Савельева О. М. К вопросу о построении диаграммы напряжений путем пересчета машинной диаграммы // Пробл. прочности.— 1982.— № 9.
- Малигин Н. Н. Прикладная теория пластичности и ползучести.— М.: Машиностроение, 1975.
- Давиденков Н. Н., Спиридонова Н. И. Анализ напряженного состояния в шейке растянутого образца // Завод. лаб.— 1945.— Т. 11, № 6.
- А. с. 855430 СССР. Устройство для исследования динамических прочностных свойств материалов/А. Г. Иванов, В. И. Цыпкин // Открытия. Изобретения.— 1981.— № 21.
- Степанов Г. В. Упругопластическое деформирование материалов под действием импульсных нагрузок.— Киев: Наук. думка, 1979.
- Шинкаренко Т. Н., Хорошайлов В. Г., Димчук И. С. Зависимость механических свойств аустенитных сталей 1Х18Н10Т и 4Х12Н8Г8МФБ от низкотемпературной пластической деформации // Пробл. прочности.— 1975.— № 7.
- Воробьев В. Г. Термическая обработка стали при температурах ниже нуля.— М.: Оборонгиз, 1954.
- Киселев А. Н. К магнитным измерениям в ударных волнах // ФГВ.— 1975.— № 6.
- Голубев В. К., Новиков С. А. и др. О механизмах откольного разрушения сталей ст. 3 и 12Х18Н10Т в температурном диапазоне 196...800°C // Пробл. прочности.— 1981.— № 5.

14. Герман В. Н., Щипкин В. И. и др. Поведение стали X18H10T при комплексном воздействии ударного нагружения и высокоскоростной деформации // Пробл. прочности.— 1981.— № 9.

Поступила 4/VI 1986 г.

УДК 539.4

## О ВЛИЯНИИ НАГРЕВА НА ОТКОЛЬНОЕ РАЗРУШЕНИЕ НЕКОТОРЫХ ПОЛИМЕРНЫХ КОМПОЗИТОВ

*В. К. Голубев, С. А. Новиков, Ю. С. Соболев,  
А. А. Хохлов, Н. А. Юкина*

(*Москва*)

Удачное сочетание высоких удельных механических свойств с высокими теплофизическими и диэлектрическими характеристиками — причина широкого использования полимерных композитов в конструкциях современной техники. Однако данных по прочности и разрушению этих материалов в условиях динамических ударно-волновых нагрузок явно недостаточно для оптимального проектирования соответствующих конструкций. Можно отметить лишь работы [1—5], где приводятся отдельные данные по определению условий откольного разрушения некоторых из них. Что же касается влияния на откольное разрушение повышенной температуры, которая является одним из основных факторов воздействия в условиях технической эксплуатации, то здесь информация для полимерных композитов фактически полностью отсутствует. Из подобных близких работ укажем только [6], где изучалось влияние температуры на откольное разрушение ряда полимерных материалов. В данной работе поставлена задача определения условий и характера откольного разрушения четырех типичных полимерных композитов: текстолита, асботекстолита, стеклотекстолита и стеклопластика АГ-4.

Постановка опытов аналогична [6]. Образцы исследуемых материалов, представляющие собой диски диаметром 40 и толщиной 4 мм, крепились к алюминиевому экрану толщиной 8 мм. Ударно-волновое нагружение образцов осуществлялось ударом по экрану алюминиевой пластины толщиной 4 мм, разгоняемой до необходимой скорости скользящей детонацией тонкого слоя ВВ. Нагрев до температуры 130° С, контролируемой хромель-копелевой термопарой, производился через экран посредством электронагревателя. После ударно-волновых испытаний визуально осматривались образцы и изготавливались шлифы их продольных осевых сечений. Наблюдение и фотографирование шлифов проводилось оптической аппаратурой, используемой для металлографических исследований.

Методы получения, условия применения и физико-механические свойства рассматриваемых материалов приведены в [7]. Данные по плотности образцов, полученные методом гидростатического взвешивания, указаны в табл. 1.

Результаты опытов представлены на рис. 1 (а — текстолит, б — стеклопластик, в — асботекстолит, г — стеклотекстолит). Скорости ударника  $w$  и температуре  $T$  здесь ставится в соответствие состояние образца после испытания, условно подразделяемое на 3 градации: 1 — отсутствие откольного разрушения, соответствие наблюдаемой структуры образца структуре образца-свидетеля; 2 — частичное откольное разрушение — наличие на шлифе наблюдаемых визуально либо при небольшом увеличении откольных повреждений; 3 — полное откольное разрушение — наличие магистральной откольной трещины либо непосредственное отслаи-

Таблица 1

Материал	$\rho$ , $\text{г}/\text{см}^3$	$p$ , ГПа ( $T=0\ldots20^\circ\text{C}$ )	$p$ , ГПа ( $T=130^\circ\text{C}$ )
Текстолит	1,37	0,20—0,24	0,26—0,30
Асботекстолит	1,53	—0,24	—0,33
Стеклотекстолит	1,63	—0,25	—0,29
Стеклопластик	1,90	0,27—0,30	0,39—0,45